

Краевая задача для ОДУ

Цыбулин Иван (tsybulin@crec.mipt.ru)

Линейная краевая задача для ОДУ

$$\frac{d\mathbf{y}(x)}{dx} = \mathbf{A}(x)\mathbf{y}(x) + \mathbf{f}(x), \quad x \in [a, b]$$

$$\ell_i^\top \mathbf{y}(a) = \alpha_i, \quad i = 1, \dots, r$$

$$\ell_i^\top \mathbf{y}(b) = \alpha_i, \quad i = r + 1, \dots, n$$

Построение фундаментальной системы

Решение ОДУ зависит от n констант, причем в линейном случае можно записать

$$\mathbf{y}(x) = \mathbf{y}_0(x) + \sum_{i=1}^n C_i \mathbf{y}_i(x),$$

где $\mathbf{y}_0(x)$ — частное решение ОДУ, $\mathbf{y}_i(x)$ — линейно независимые решения однородного уравнения

$$\frac{d\mathbf{y}(x)}{dx} = \mathbf{A}(x)\mathbf{y}(x), \quad x \in [a, b]$$

Фундаментальную систему можно построить численно. Для этого можно найти каждое $\mathbf{y}_i(x)$, сформулировав для нее подходящую задачу Коши. Например,

$$\begin{cases} \frac{d\mathbf{y}_0(x)}{dx} = \mathbf{A}(x)\mathbf{y}_0(x) + \mathbf{f}(x) \\ \mathbf{y}_0(a) = \mathbf{0} \end{cases} \quad \begin{cases} \frac{d\mathbf{y}_i(x)}{dx} = \mathbf{A}(x)\mathbf{y}_i(x) \\ \mathbf{y}_i(a) = \mathbf{e}_i \end{cases}$$

Решение краевой задачи

После нахождения фундаментальной системы, решение краевой задачи сводится к разрешению краевых условий относительно C_i :

$$\begin{aligned} l_i^\top \left[\mathbf{y}_0(a) + \sum_{i=1}^n C_i \mathbf{y}_i(a) \right] &= \alpha_i, \quad i = 1, \dots, r \\ l_i^\top \left[\mathbf{y}_0(b) + \sum_{i=1}^n C_i \mathbf{y}_i(b) \right] &= \alpha_i, \quad i = r + 1, \dots, n \end{aligned}$$

Это линейная система из n уравнений для n неизвестных C_i .

Решим численно систему

$$u'(x) = v(x)$$

$$v'(x) = (1 - x^2)u(x) + e^{-x}$$

$$u(0) = 1, \quad u(2) + v(2) = 0$$

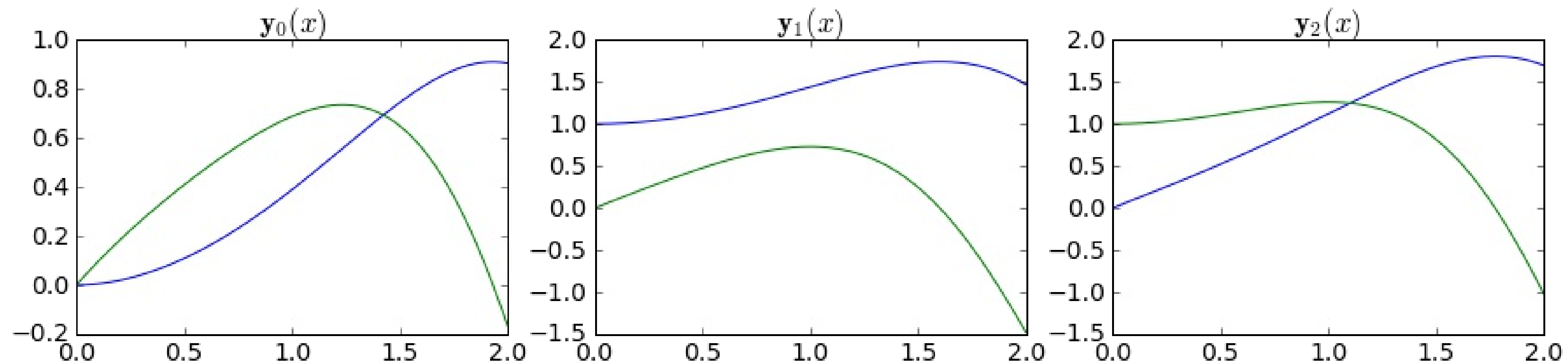
```

def G(x, y): # Правая часть неоднородной ОДУ
    u, v = y; return np.array([v, (1-x*x)*u + np.exp(-x)])
def Ghom(x, y): # Правая часть однородной ОДУ
    u, v = y; return np.array([v, (1-x*x)*u])
a = 0; b = 2
X, Y0 = fixed_stepsize(G, np.array([0., 0.]), b, rk4, b / 200, verbose=True)
X, Y1 = fixed_stepsize(Ghom, np.array([1., 0.]), b, rk4, b / 200)
X, Y2 = fixed_stepsize(Ghom, np.array([0., 1.]), b, rk4, b / 200)

plt.figure(figsize=(15, 3)); plt.rc('font', size=14)
plt.subplot(1, 3, 1); plt.plot(X, Y0); plt.title(r' $y_0(x)$ ')
plt.subplot(1, 3, 2); plt.plot(X, Y1); plt.title(r' $y_1(x)$ ')
plt.subplot(1, 3, 3); plt.plot(X, Y2); plt.title(r' $y_2(x)$ ')
plt.show()

```

Классический метод РК 4 порядка, всего шагов: 200



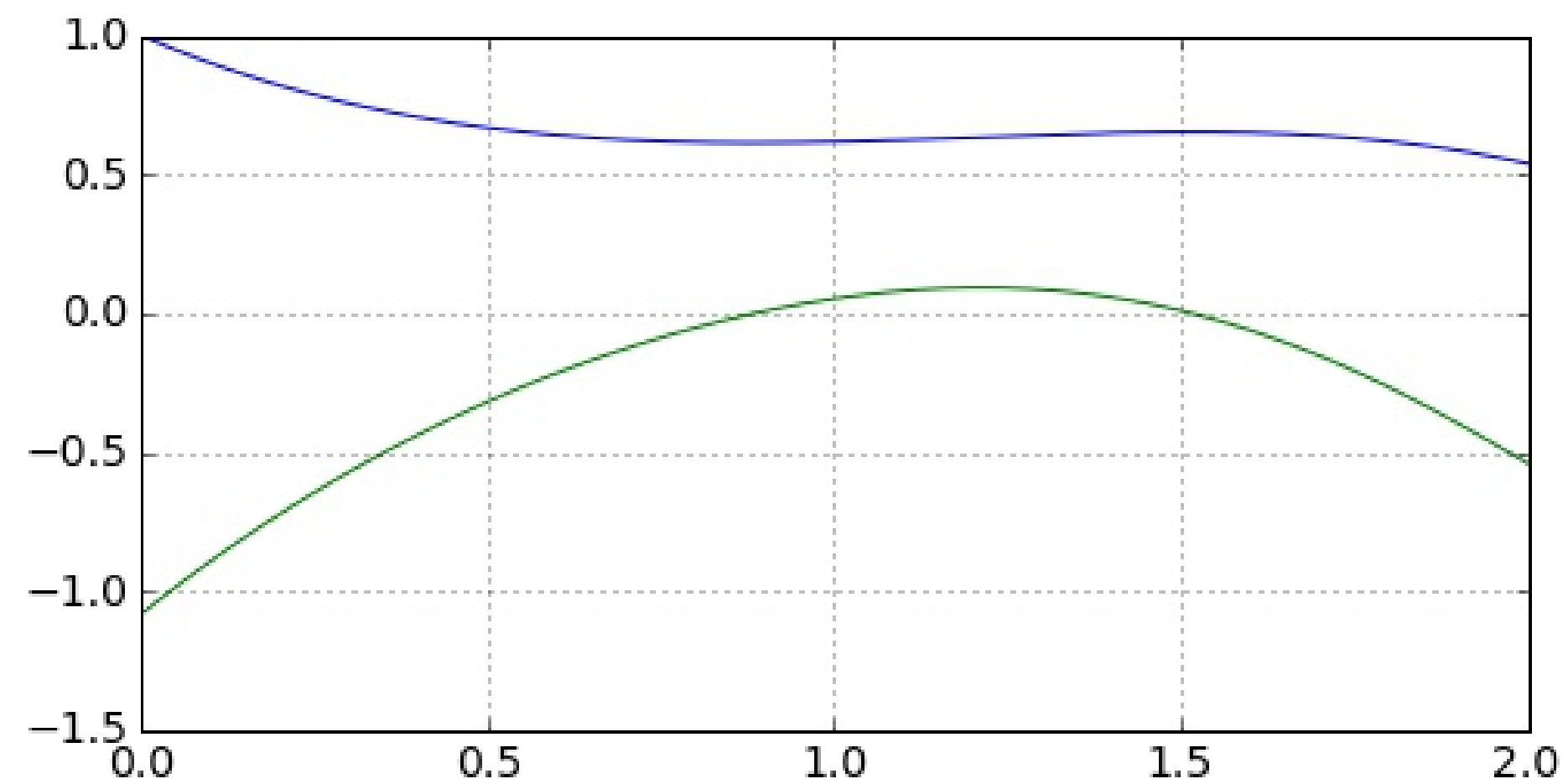
```

# Теперь можно разрешить условия  $u(0) = 1, u(2) + v(2) = 0$ 
#  $(u(x), v(x)) = Y_0(x) + C_1 Y_1(x) + C_2 Y_2(x)$ 

A = [[ Y1[0, 0],      Y2[0, 0]   ], # Левое условие
      [Y1[-1, 0]+Y1[-1, 1], Y2[-1, 0]+Y2[-1, 1]]] # Правое условие
b = np.array([1, 0]) - [Y0[0, 0], Y0[-1, 0]+Y0[-1, 1]]
C1, C2 = np.linalg.solve(A, b)
print('C1 = %f, C2 = %f' % (C1, C2))
plt.figure(figsize=(8, 4)); plt.plot(X, Y0 + C1*Y1 + C2*Y2); plt.grid()

```

C1 = 1.000000, C2 = -1.082561



Задача XI.8.1

Построить общее решение для

- $y''(x) + (10 + x)y(x) = xe^{-x}, \quad x \in [0, 10]$
- $y''(x) - (10 + x)y(x) = xe^{-x}, \quad x \in [0, 10]$

```

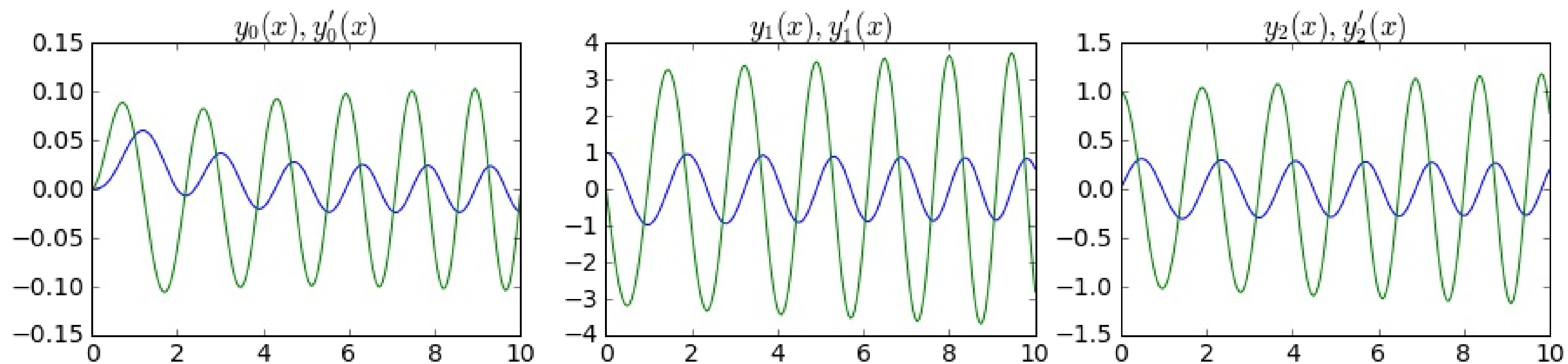
def G(x, y): # Правая часть неоднородной ОДУ
    u, v = y; return np.array([v, -(10+x)*u + x*np.exp(-x)])
def Ghom(x, y): # Правая часть однородной ОДУ
    u, v = y; return np.array([v, -(10+x)*u])

a = 0; b = 10
X, Y0 = fixed_stepsize(G, np.array([0., 0.]), b, rk4, b / 200, verbose=True)
X, Y1 = fixed_stepsize(Ghom, np.array([1., 0.]), b, rk4, b / 200)
X, Y2 = fixed_stepsize(Ghom, np.array([0., 1.]), b, rk4, b / 200)

plt.figure(figsize=(15, 3)); plt.rc('font', size=14)
plt.subplot(1, 3, 1); plt.plot(X, Y0); plt.title(r'$y_0(x), y_0^{\prime}(x)$')
plt.subplot(1, 3, 2); plt.plot(X, Y1); plt.title(r'$y_1(x), y_1^{\prime}(x)$')
plt.subplot(1, 3, 3); plt.plot(X, Y2); plt.title(r'$y_2(x), y_2^{\prime}(x)$')
plt.show()

```

Классический метод РК 4 порядка, всего шагов: 200



```

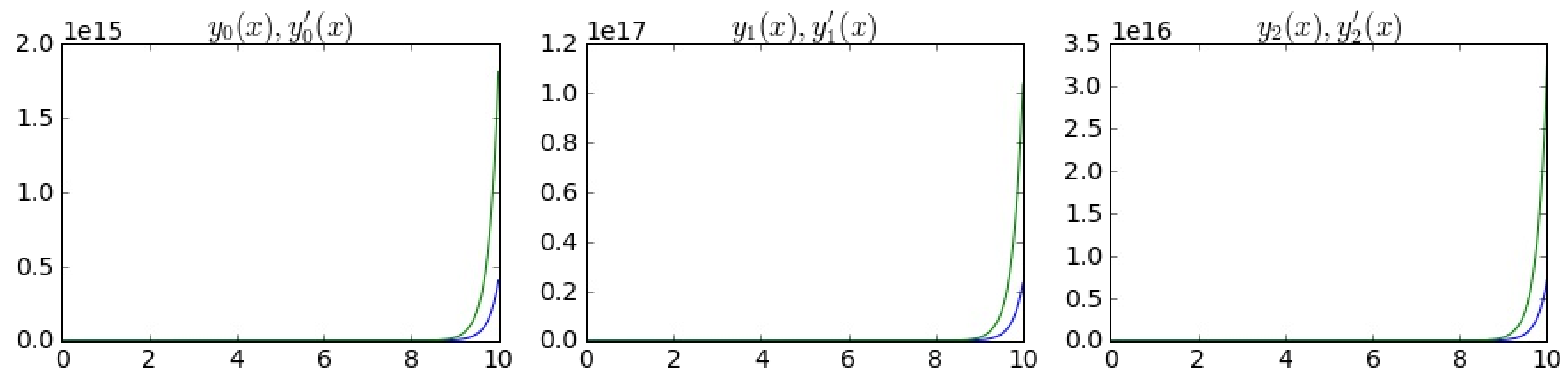
def G(x, y): # Правая часть неоднородной ОДУ
    u, v = y; return np.array([v, (10+x)*u + x*np.exp(-x)])
def Ghom(x, y): # Правая часть однородной ОДУ
    u, v = y; return np.array([v, (10+x)*u])

a = 0; b = 10
X, Z0 = fixed_stepsize(G, np.array([0., 0.]), b, rk4, b / 200, verbose=True)
X, Z1 = fixed_stepsize(Ghom, np.array([1., 0.]), b, rk4, b / 200)
X, Z2 = fixed_stepsize(Ghom, np.array([0., 1.]), b, rk4, b / 200)

plt.figure(figsize=(15, 3)); plt.rc('font', size=14)
plt.subplot(1, 3, 1); plt.plot(X, Z0); plt.title(r'$y_0(x), y_0^{\prime}(x)$')
plt.subplot(1, 3, 2); plt.plot(X, Z1); plt.title(r'$y_1(x), y_1^{\prime}(x)$')
plt.subplot(1, 3, 3); plt.plot(X, Z2); plt.title(r'$y_2(x), y_2^{\prime}(x)$')
plt.show()

```

Классический метод РК 4 порядка, всего шагов: 200



Мы численно построили для каждой задачи фундаментальную систему в форме

$$y(x) = y_0(x) + C_1 y_1(x) + C_2 y_2(x).$$

Но можно ли использовать эту систему для решения краевой задачи? Пусть граничные условия заданы в виде

$$y(a) = \alpha, \quad y(b) = \beta$$

Матрица системы для определения C_1, C_2 будет иметь вид

$$A = \begin{pmatrix} y_1(a) & y_2(a) \\ y_1(b) & y_2(b) \end{pmatrix}$$

```
def cond(A):  
    lam = np.sqrt(np.linalg.eigvalsh(A.T * A))  
    return lam[-1] / lam[0]  
  
A = np.array([[Y1[0, 0], Y2[0, 0]], [Y1[-1, 0], Y2[-1, 0]]])  
print('Для колебательных решений cond(A) =', cond(A))  
  
A = np.array([[Z1[0, 0], Z2[0, 0]], [Z1[-1, 0], Z2[-1, 0]]])  
print('Для экспоненциальных решений cond(A) =', cond(A))
```

Для колебательных решений $\text{cond}(A) = 5.01011683375$

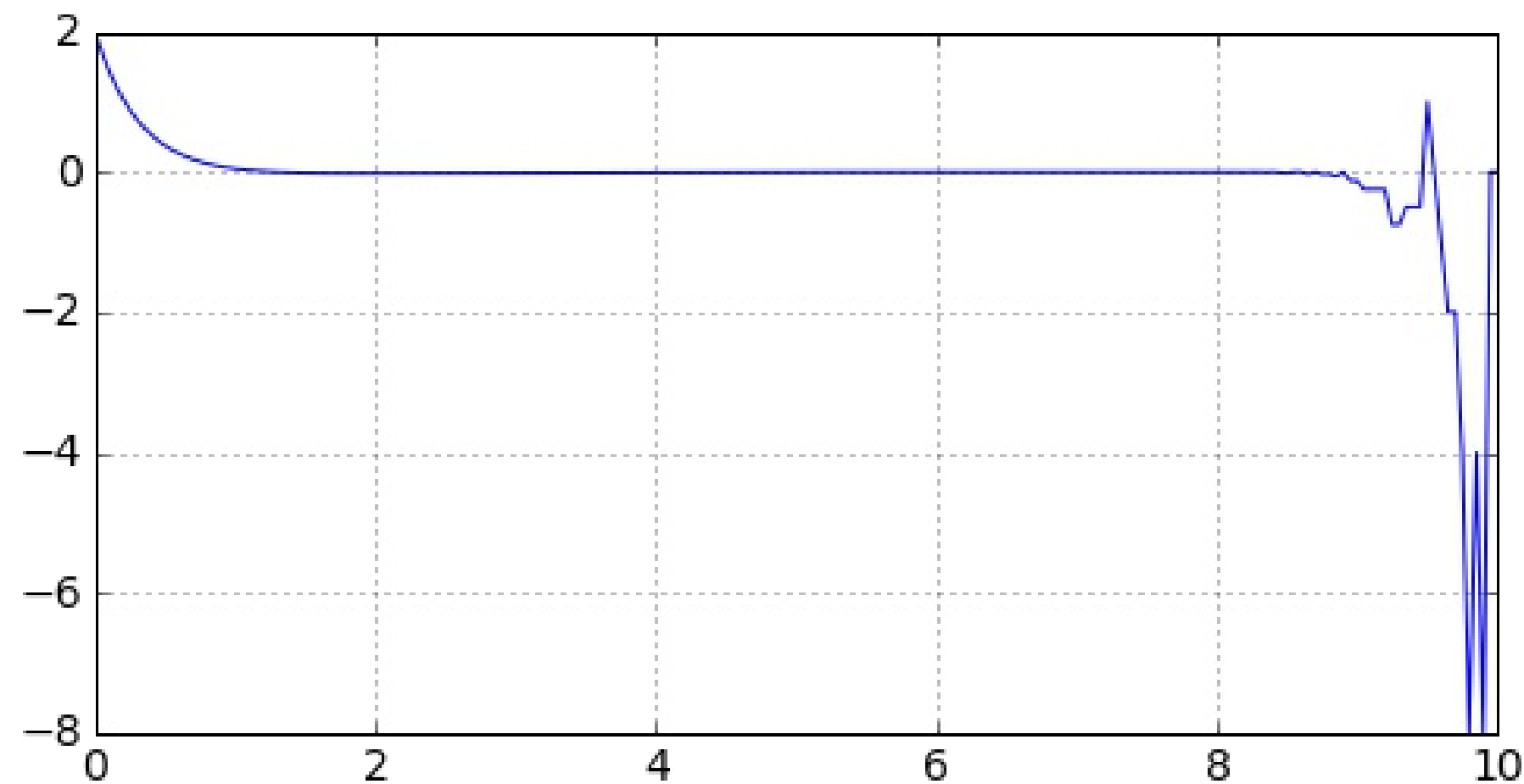
Для экспоненциальных решений $\text{cond}(A) = 7.29850742218e+15$

Видно, что во втором случае система для определения C_1, C_2 очень плохо определена, а значит C_1, C_2 будут найдены с большими ошибками, что в свою очередь приведет к большим ошибкам в итоговом решении, вычисляемом по формуле

$$y(x) = y_0(x) + C_1 y_1(x) + C_2 y_2(x)$$

```
A = np.array([[Z1[0, 0], Z2[0, 0]], [Z1[-1, 0], Z2[-1, 0]])
b = np.array([2-Z0[0, 0], 3-Z0[-1, 0]])
C1, C2 = np.linalg.solve(A, b)
print('C1 = %f, C2 = %f' % (C1, C2))
plt.figure(figsize=(8, 4)); plt.plot(X, Z0[:, 0] + C1*Z1[:, 0] + C2*Z2[:, 0])
plt.grid()
```

C1 = 2.000000, C2 = -6.429219



Для краевых задач для уравнений второго порядка в форме

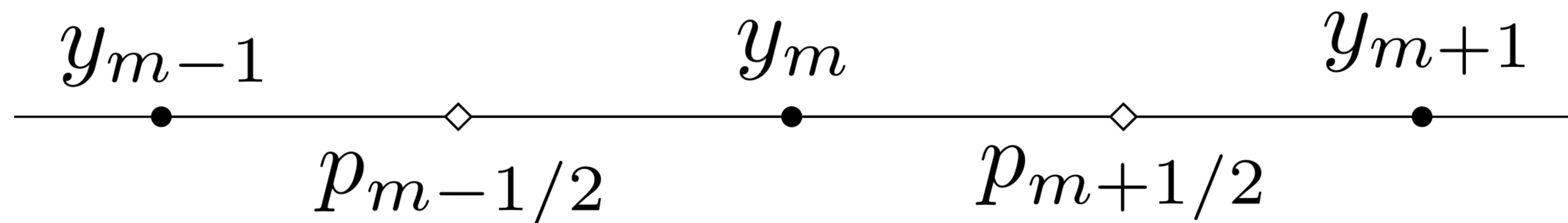
$$\frac{d}{dx} \left[p(x) \frac{dy}{dx} \right] + r(x) \frac{dy}{dx} - q(x)y(x) = f(x)$$

можно воспользоваться другим методом — методом прогонки (конечно-разностным методом).

Для этого уравнение аппроксимируется на равномерной сетке на отрезке $[a, b]$.

$$\frac{p_{m+1/2}(y_{m+1} - y_m) - p_{m-1/2}(y_m - y_{m-1})}{h^2} + r_m \frac{y_{m+1} - y_{m-1}}{2h} - q_m y_m = f_m,$$

$$p_{m+1/2} \equiv p \left(\frac{x_m + x_{m+1}}{2} \right), \quad q_m \equiv q(x_m), \quad r_m \equiv r(x_m), \quad f_m \equiv f(x_m)$$



Такая аппроксимация уравнения имеет второй порядок и обладает преимуществами перед аппроксимацией

$$\frac{d}{dx} \left[p(x) \frac{dy}{dx} \right] = \frac{dp}{dx} \frac{dy}{dx} + p(x) \frac{d^2y}{dx^2} \sim \frac{p_{m+1} - p_{m-1}}{2h} \frac{y_{m+1} - y_{m-1}}{2h} + p_m \frac{y_{m+1} - 2y_m + y_{m-1}}{h^2}.$$

Граничные условия первого рода $y(a) = \alpha$, $y(b) = \beta$ аппроксимируются в разностной задаче тривиально:

$$y_0 = \alpha, \quad y_M = \beta.$$

Для условий с производными

$$p(a)y'(a) + \sigma y(a) = \gamma$$

$$p(b)y'(b) + \rho y(b) = \delta$$

аппроксимация на границе со вторым порядком производится сложнее.

Рассмотрим левое условие $p(a)y'(a) + \sigma y(a) = \gamma$. Проинтегрируем уравнение

$$\frac{d}{dx} \left[p(x) \frac{dy}{dx} \right] + r(x) \frac{dy}{dx} - q(x)y(x) = f(x)$$

на отрезке $[a, a + h]$, предварительно умножив на $\phi(x) = 1 - \frac{x-a}{h}$.

$$\begin{aligned} 0 &= \int_a^{a+h} \left[\frac{d}{dx} \left(p(x) \frac{dy}{dx} \right) + r(x) \frac{dy}{dx} - q(x)y(x) - f(x) \right] \phi(x) dx = \\ &= -p(a)y'(a) + \int_a^{a+h} \left(r(x)\phi(x) - p(x) \frac{d\phi}{dx} \right) \frac{dy}{dx} dx - \\ &\quad \int_a^{a+h} (q(x)y(x) + f(x))\phi(x) dx = \end{aligned}$$

Приближая первый интеграл по формуле средней точки, а второй по формуле трапеций, получим

$$= -p(a)y'(a) + \left(\frac{r_{1/2}}{2} + \frac{p_{1/2}}{h} \right) \frac{y_1 - y_0}{h} - \frac{h}{2} (q_0 y_0 + f_0) + O(h^2).$$

Таким образом,

$$p(a)y'(a) = \left(\frac{r_{1/2}}{2} + \frac{p_{1/2}}{h} \right) \frac{y_1 - y_0}{h} - \frac{h}{2}(q_0y_0 + f_0) + O(h^2).$$

Требуемая аппроксимация граничного условия

$$p(a)y'(a) + \sigma y(a) = \gamma$$

принимает вид

$$\left(\frac{r_{1/2}}{2} + \frac{p_{1/2}}{h} \right) \frac{y_1 - y_0}{h} - \frac{h}{2}(q_0y_0 + f_0) + \sigma y_0 = \gamma$$

Возвращаясь к задаче XI.7.1, построим фундаментальное решение

$$y''(x) - (10 + x)y(x) = xe^{-x}, \quad x \in [0, 10]$$

как линейную комбинацию

$$y(x) = y_0(x) + C_1 y_1(x) + C_2 y_2(x),$$

где y_i получаются не из решение задачи Коши, а из решения *краевых задач* методом прогонки.

$$\begin{cases} y_0''(x) - (10 + x)y_0(x) = xe^{-x} \\ y_0(0) = 0 \\ y_0(10) = 0 \end{cases} \quad \begin{cases} y_1''(x) - (10 + x)y_1(x) = 0 \\ y_1(0) = 0 \\ y_1(10) = 1 \end{cases}$$

$$\begin{cases} y_2''(x) - (10 + x)y_2(x) = 0 \\ y_2(0) = 1 \\ y_2(10) = 0 \end{cases}$$

```
from scipy.linalg import solve_banded

M = 200; X = np.linspace(0, 10, M+1)
def sweep_solve(x, alpha, beta, rhs):
    h = x[1] - x[0]; M = len(x) - 1
    A = np.zeros((3, M+1)); b = np.zeros(M+1)

    # Заполняем строки трехдиагональной системы с 1 до M-1
    A[0, 2:] = A[2, :-2] = 1/h**2
    A[1, 1:M] = -2/h**2 - (10 + x[1:M])
    b[1:M] = rhs[1:M]

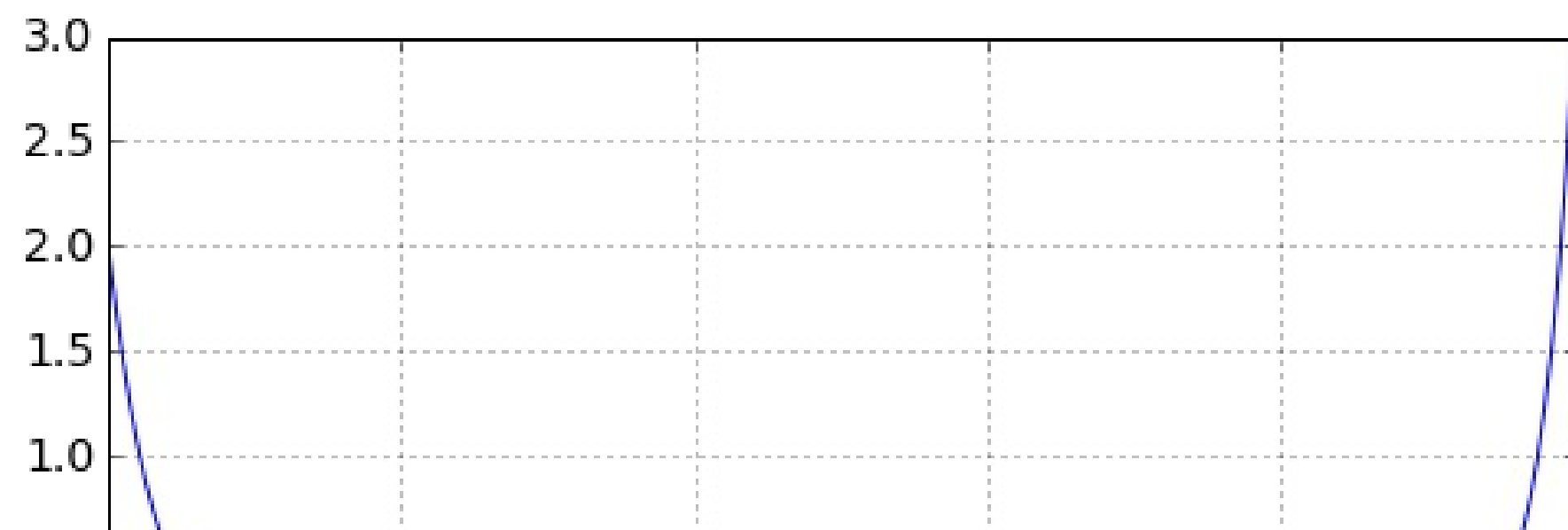
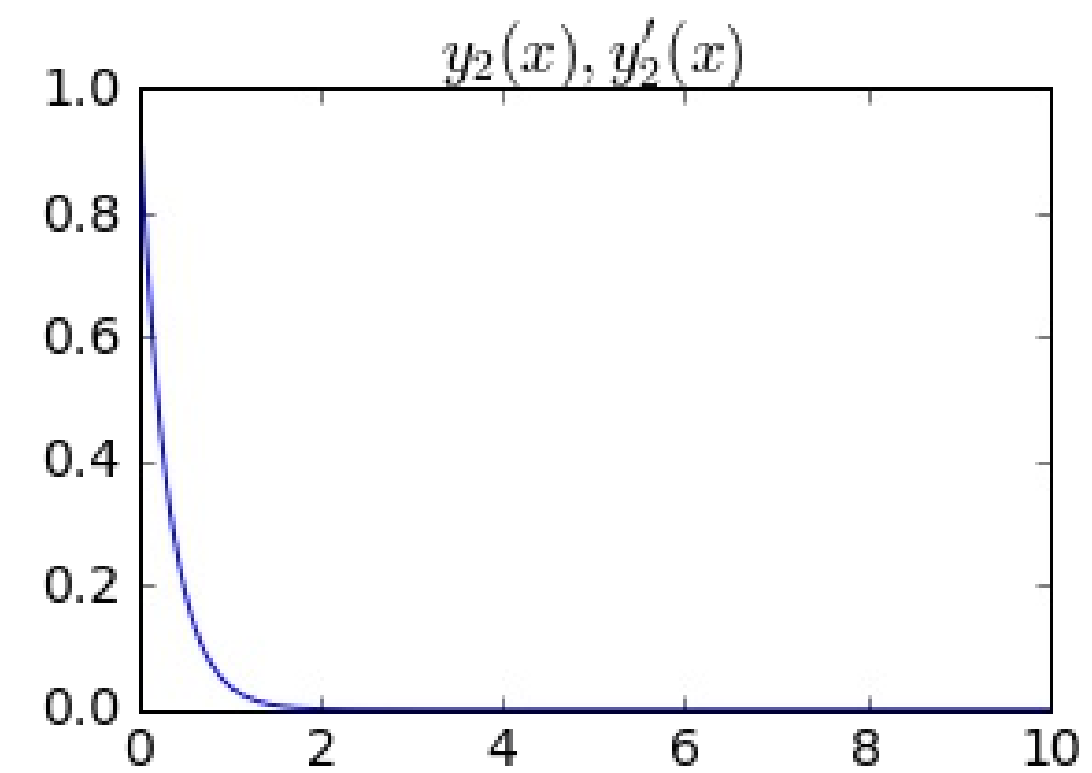
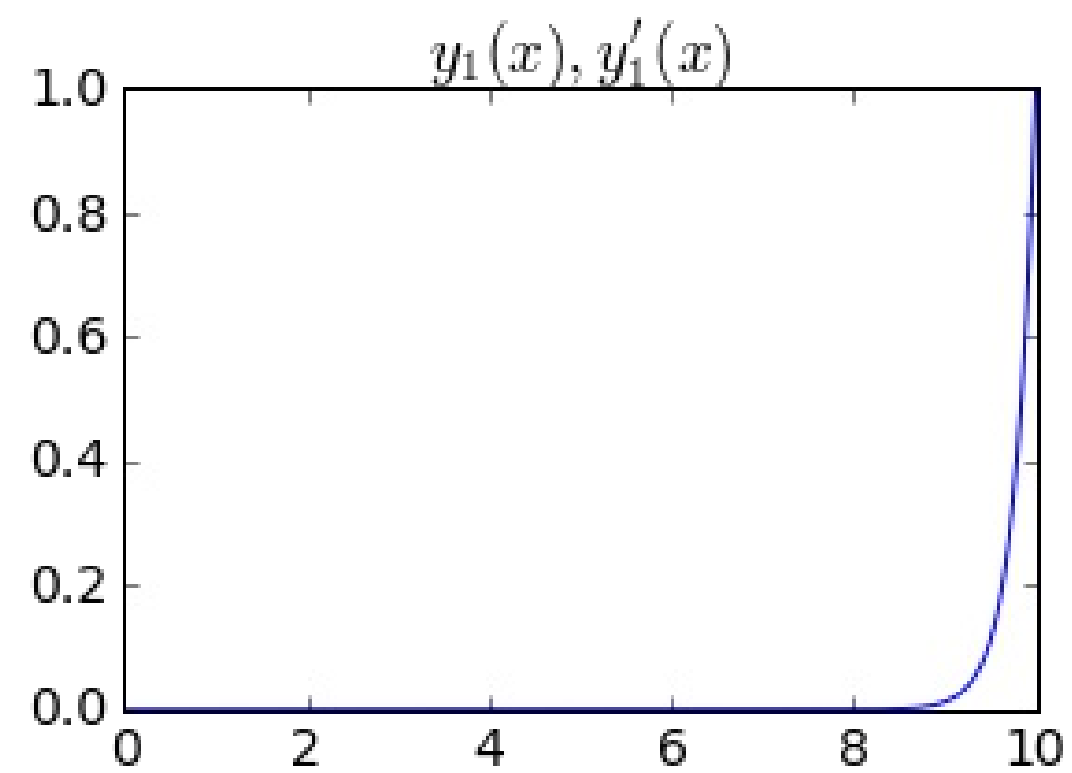
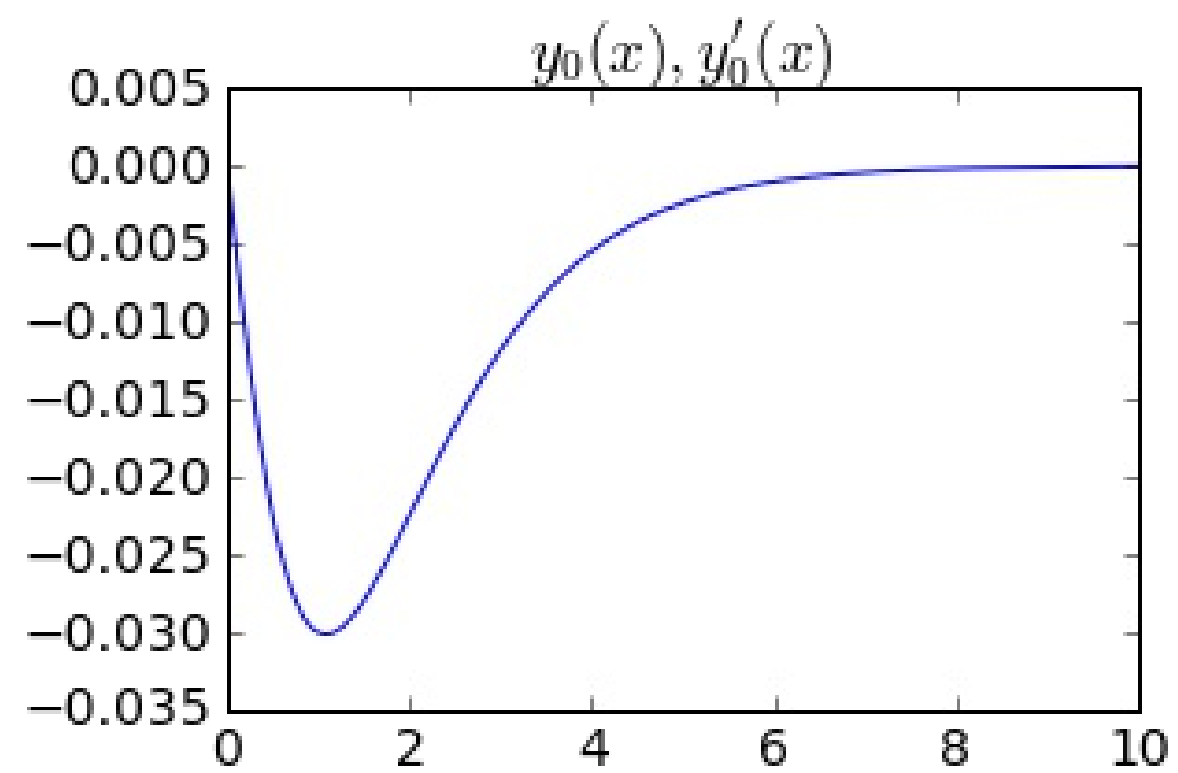
    # Первая и последняя строки содержат граничные условия
    A[0, 1] = A[2, -1] = 0
    A[1, 0] = A[1, M] = 1
    b[0] = alpha; b[M] = beta;
    return solve_banded((1, 1), A, b)
```

```

Z0 = sweep_solve(X, 0, 0, X*np.exp(-X))
Z1 = sweep_solve(X, 0, 1, np.zeros_like(X))
Z2 = sweep_solve(X, 1, 0, np.zeros_like(X))

plt.figure(figsize=(15, 3)); plt.rc('font', size=14)
plt.subplot(1, 3, 1); plt.plot(X, Z0); plt.title(r'$y_0(x), y_0^\prime(x)$')
plt.subplot(1, 3, 2); plt.plot(X, Z1); plt.title(r'$y_1(x), y_1^\prime(x)$')
plt.subplot(1, 3, 3); plt.plot(X, Z2); plt.title(r'$y_2(x), y_2^\prime(x)$')
plt.show()
plt.figure(figsize=(8, 4)); plt.plot(X, Z0 + 3*Z1 + 2*Z2)
plt.grid()

```



Нелинейная краевая задача. Метод стрельбы

Рассмотрим нелинейную краевую задачу второго порядка

$$y''(x) = f(x, y(x), y'(x)), \quad x \in [a, b]$$

$$y(a) = \alpha$$

$$y(b) = \beta$$

Для нелинейных задач не существует понятия фундаментальной системы, так как решение больше не представляется *линейной* комбинацией.

Рассмотрим вспомогательную задачу Коши

$$y''(x) = f(x, y(x), y'(x)), \quad x \in [a, b]$$

$$y(a) = \alpha$$

$$y'(a) = p.$$

Здесь p — параметр. При некотором его значении решение задачи Коши совпадает с решением исходной краевой задачи. При каждом значении параметра p задача может быть легко решена численно.

Рассмотрим на примере

$$y'' = \sin y, \quad x \in [0, \pi/2]$$

$$y(0) = 0$$

$$y(\pi/2) = 1$$

```

def G(x, Y): # Правая часть для задачи Коши
    y, yp = Y
    return np.array([yp, np.sin(y)])

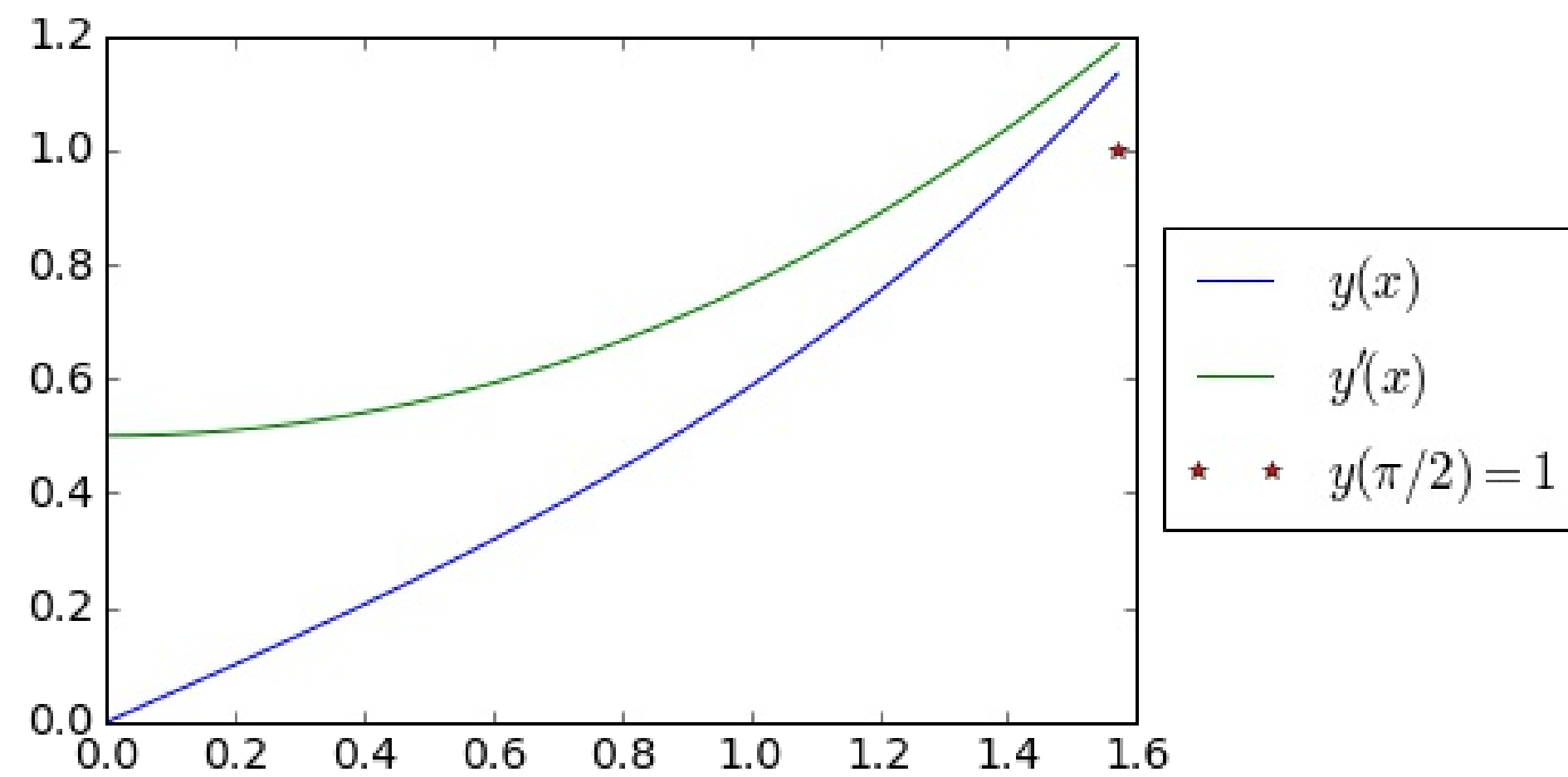
def shoot_plot(p):
    b = np.pi/2
    X, Y = fixed_stepsize(G, np.array([0., p]), b, rk4, b / 200)
    plt.plot(X, Y[:, 0], label="$y(x)$")
    plt.plot(X, Y[:, 1], label="$y'(x)$")
    plt.plot([np.pi/2], [1], '*', label='$y(\pi/2) = 1$')
    plt.legend(loc='center left', bbox_to_anchor=(1., .5))
    return

```

```

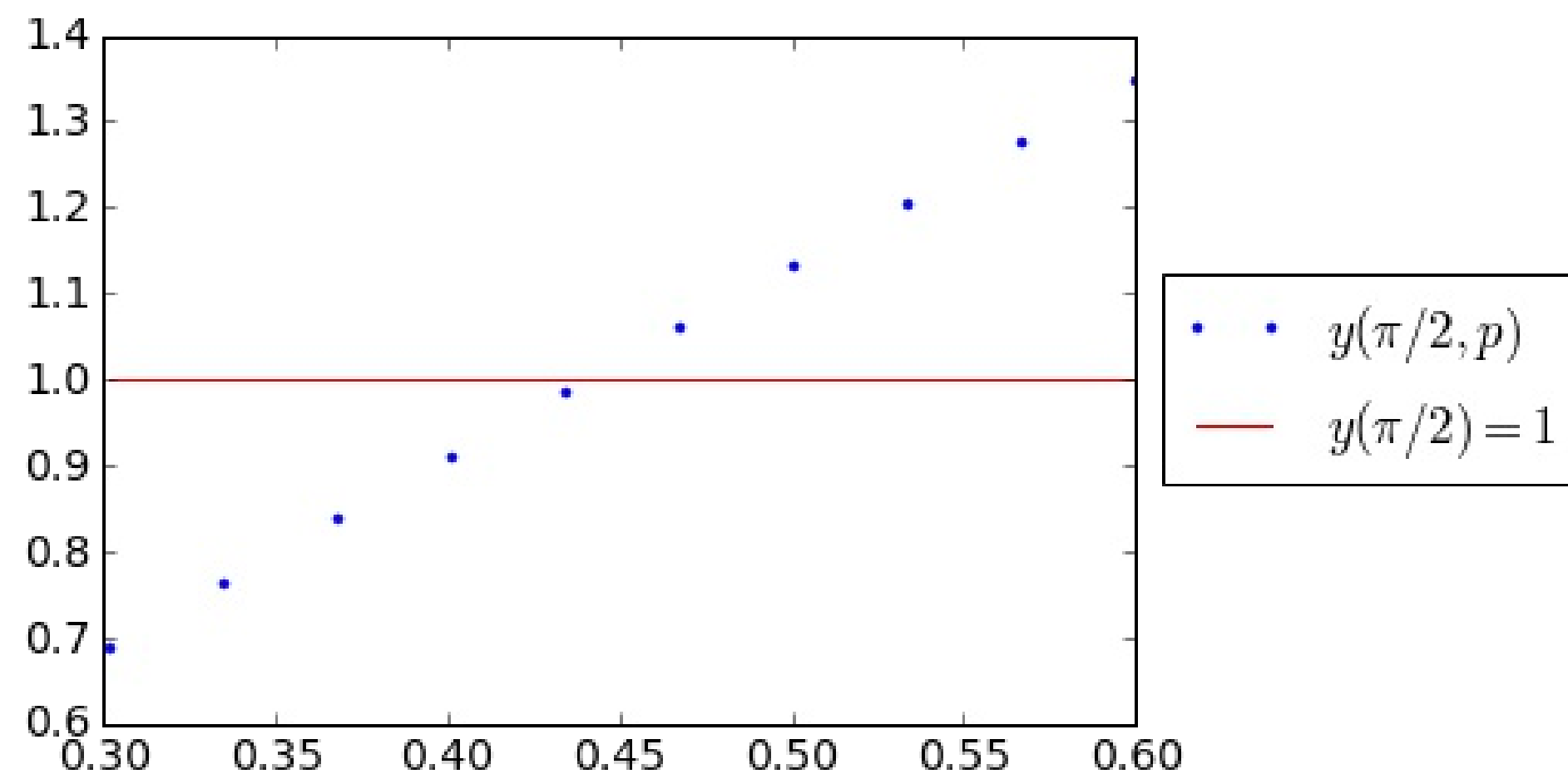
p_approx = 0.5
shoot_plot(p_approx)

```



Значение решения на правом конце можно рассмотреть как функцию p . Мы умеем вычислять ее поточечно при каждом p .

```
def shoot(p):  
    b = np.pi/2  
    X, Y = fixed_stepsize(G, np.array([0., p]), b, rk4, b / 200)  
    return Y[-1, 0]  
  
val = []; P = np.linspace(0.301, 0.6, 10)  
for p in P:  
    val.append(shoot(p))  
  
plt.plot(P, val, '.', label='$y(\pi/2, p)$');  
plt.plot(P, np.ones_like(P), 'r', label='$y(\pi/2) = 1$');  
plt.xlabel('$p$'); plt.legend(loc='center left', bbox_to_anchor=(1., .5))  
plt.show()
```



Задача определения p свелась к решению некоторого нелинейного уравнения $F(p) = 1$, где сама функция $F(p) = y(\pi/2, p)$ задана достаточно сложно — как решение задачи Коши. Однако, это не мешает применить к ней численные методы для поиска корней нелинейных уравнений.

Сложность может возникнуть лишь с методом Ньютона — для него требуется уметь вычислять $F'(p)$. На практике применяют либо численное дифференцирование, либо решают дополнительное уравнение в вариациях, для нахождения $\frac{\partial y(x,p)}{\partial p}$.

```

from scipy.optimize import fsolve

def residual(p): # Невязка правого краевого условия
    print('Решаем задачу Коши при p =', *p)
    return shoot(*p) - 1

p_approx = 0.5
[p_true] = fsolve(residual, p_approx)
print('p_true =', p_true)
shoot_plot(p_true)

```

Решаем задачу Коши при $p = 0.5$

Решаем задачу Коши при $p = 0.5$

Решаем задачу Коши при $p = 0.5$

Решаем задачу Коши при $p = 0.500000007451$

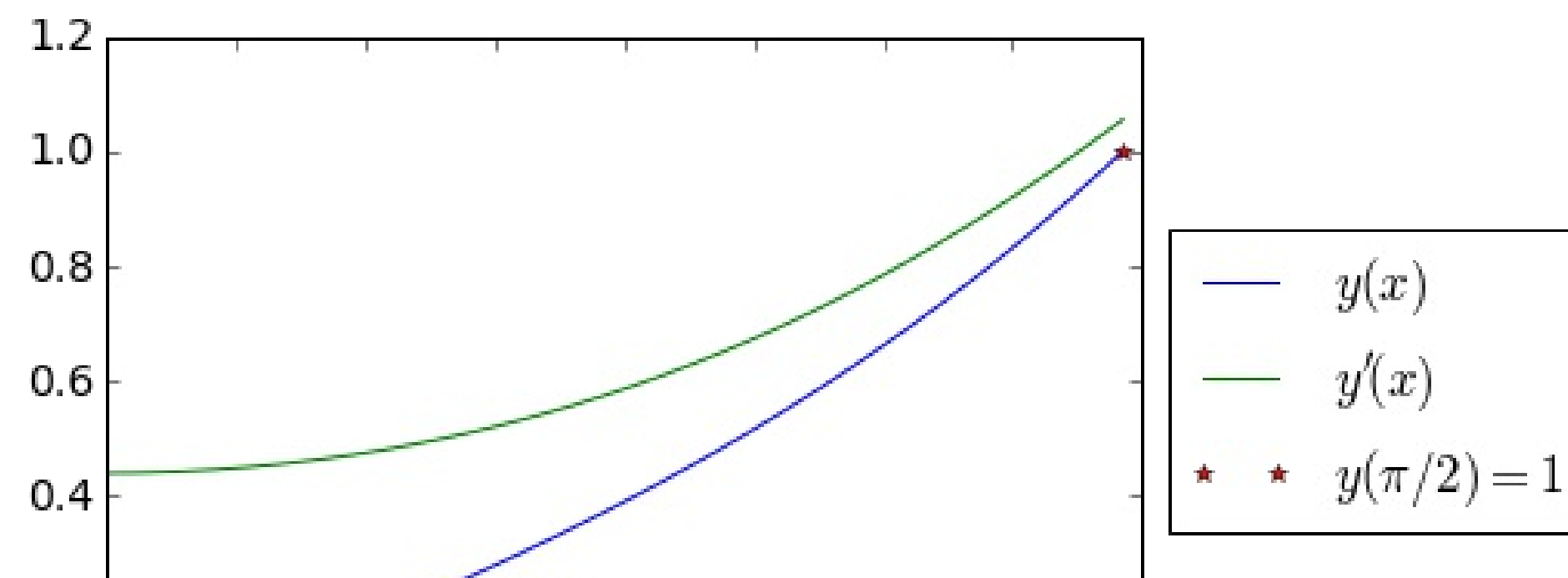
Решаем задачу Коши при $p = 0.439650556032$

Решаем задачу Коши при $p = 0.439968123456$

Решаем задачу Коши при $p = 0.439966522627$

Решаем задачу Коши при $p = 0.439966522586$

$p_{\text{true}} = 0.439966522586$



Задачи на собственные значения

Рассмотрим задачу на собственные значения λ оператора Штурма-Лиувилля ($p(x), q(x), \rho(x)$ — заданные функции)

$$-\frac{d}{dx} \left[p(x) \frac{dy}{dx} \right] + q(x)y(x) = \lambda \rho(x)y(x), \quad x \in [a, b]$$

$$\alpha_1 y(a) + \beta_1 y'(a) = 0$$

$$\alpha_2 y(b) + \beta_2 y'(b) = 0$$

Очевидно, что функция $y(x) = 0$ является решением этой задачи при любых λ . Однако лишь при некоторых λ кроме этого решения существует еще и нетривиальное $y(x) \neq 0$.

Неединственность решения

Пусть $y_0(x)$ — некоторое нетривиальное решение однородной задачи

$$-\frac{d}{dx} \left[p(x) \frac{dy}{dx} \right] + q(x)y(x) = \lambda \rho(x)y(x), \quad x \in [a, b]$$

$$\alpha_1 y(a) + \beta_1 y'(a) = 0$$

$$\alpha_2 y(b) + \beta_2 y'(b) = 0$$

Очевидно, что $Cy_0(x)$, $C \neq 0$ также будет нетривиальным решением. Сравните с задачей для матрицы:

$$\mathbf{Ax} = \lambda \mathbf{x}$$

Собственный вектор \mathbf{x} определен с точностью до умножения на число.

Необходимо поставить задачу так, чтобы при характеристических λ она имела ровно одно решение. Добавим дополнительное условие, нарушающее однородность: зададим в точке $x = a$ еще одно неоднородное краевое условие, например, $y(a) = 1$ или $y'(a) = 1$, линейно независимое с уже имеющимся в точке $x = a$ условием.

$$-\frac{d}{dx} \left[p(x) \frac{dy}{dx} \right] + q(x)y(x) = \lambda \rho(x)y(x), \quad x \in [a, b]$$

$$\alpha_1 y(a) + \beta_1 y'(a) = 0$$

$$y'(a) = 1$$

$$\alpha_2 y(b) + \beta_2 y'(b) = 0$$

Задача превратилась в неоднородную краевую задачу второго порядка с *тремя* краевыми условиями и параметром λ . В общем случае она решений не имеет, но решение будет существовать и быть единственным при некоторых λ .

Временно закроем глаза на правое краевое условие:

$$-\frac{d}{dx} \left[p(x) \frac{dy}{dx} \right] + q(x)y(x) = \lambda \rho(x)y(x), \quad x \in [a, b]$$

$$\alpha_1 y(a) + \beta_1 y'(a) = 0$$

$$y'(a) = 1$$

$$\alpha_2 y(b) + \beta_2 y'(b) = 0$$

Без него данная задача является полноценной задачей Коши, имеющей решение при любом значении параметра λ . Но только при некоторых λ решение этой задачи Коши дополнительно удовлетворяет еще и правым краевым условиям

$$\alpha_2 y(b) + \beta_2 y'(b) = 0.$$

Мы имеем полную аналогию с методом стрельбы, только параметром на этот раз является не недостающая производная на конце отрезка, а параметр уравнения λ .

Рассмотрим в качестве примера задачу определения минимального собственного числа $\lambda > 0$ и собственной функции $y(x)$:

$$-\frac{d}{dx} \left[(1 + x^2) \frac{dy}{dx} \right] + x^2 y(x) = \lambda x y(x)$$

$$y(0) + y'(0) = 0, \quad y'(1) = 0$$

Добавим второе начальное условие $y(0) = 1$. Теперь данных достаточно, чтобы решить задачу Коши при заданном λ . Вместо того, чтобы сводить задачу к системе первого порядка (можно было бы и так), аппроксимируем эту задачу сразу.

Задача Коши

$$-\frac{d}{dx} \left[(1+x) \frac{dy}{dx} \right] + e^{-x} y(x) = \lambda y(x), \quad x \in [0, 1]$$
$$y(0) + y'(0) = 0, \quad y(0) = 1$$

может быть аппроксимирована со вторым порядком следующим образом:

$$-\frac{(1+x_{m+1/2})(u_{m+1} - u_m) - (1+x_{m-1/2})(u_m - u_{m-1})}{h^2} + (e^{-x_m} - \lambda)u_m = 0,$$

$$m = 1, 2, \dots, M - 1$$

$$u_0 = 1$$

Второе начальное условие $y(0) + y'(0) = 0$ с первым порядком аппроксимируется условием

$$u_0 + \frac{u_1 - u_0}{h} = 0$$

Для получения аппроксимации второго порядка, введем $\phi(x) = 1 - \frac{x}{h}$ и проинтегрируем уравнение с этой функцией:

$$\int_0^h [(1+x)y']' \phi dx - \int_0^h ye^{-x} \phi dx + \lambda \int_0^h y \phi dx = 0$$

$$(1+x)y' \phi \Big|_0^h - \int_0^h (1+x)y' \phi' dx - \int_0^h ye^{-x} \phi dx + \lambda \int_0^h y \phi dx = 0$$

Значение $(1+x)y' \phi \Big|_0^h = (1+h)y'(h)\phi(h) - y'(0)\phi(0) = -y'(0)$

Таким образом,

$$\begin{aligned} y'(0) &= - \int_0^h (1+x)y' \phi' dx - \int_0^h e^{-x} y \phi dx + \lambda \int_0^h y \phi dx \approx \\ &\approx (1+h/2) \frac{y(h) - y(0)}{h} + (\lambda - 1) \frac{h}{2} y(0) + O(h^2) \end{aligned}$$

Краевое условие $y'(0) + y(0) = 0$ со вторым порядком аппроксимации принимает вид (синим отмечены отличия от простейшей аппроксимации первого порядка)

$$u_0 + (1 + h/2) \frac{u_1 - u_0}{h} + (\lambda - 1) \frac{hu_0}{2} = 0$$

Отметим, что в последнем слагаемом можно заменить u_0 на u_1 без потери порядка аппроксимации, так как $y(h) = y(0) + O(h)$.

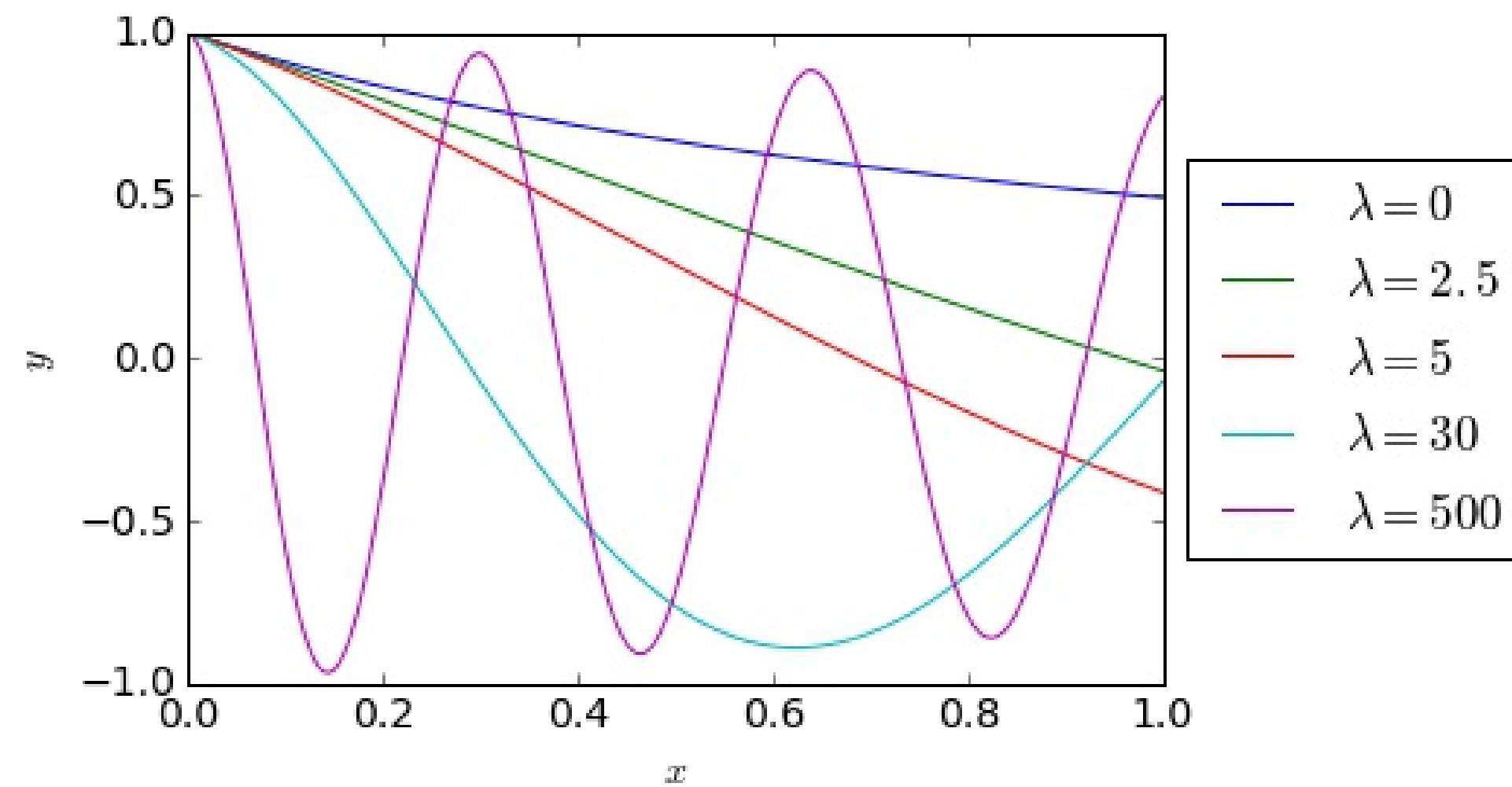
```

def solve_cauchy(M, lam, order=2):
    x = np.linspace(0, 1, M+1); h=x[1]-x[0]
    u = np.empty_like(x)
    # Заполняем начальные условия
    u[0] = 1
    if order==1:
        fd = -u[0]
    else:
        fd = ((1-lam)*h*u[0]/2 - u[0]) / (1+h/2)
    u[1] = u[0] + h * fd
    for m in range(1, M):
        xm = m*h; xml = xm-h/2; xmp = xm+h/2
        rhs = (np.exp(-xm) - lam)*u[m]*h*h
        u[m+1] = u[m] + (rhs + (1+xml)*(u[m] - u[m-1])) / (1+xmp)
    return x,u

def residual(*args, **kwargs):
    _,u = solve_cauchy(*args, **kwargs)
    return u[-1]

```

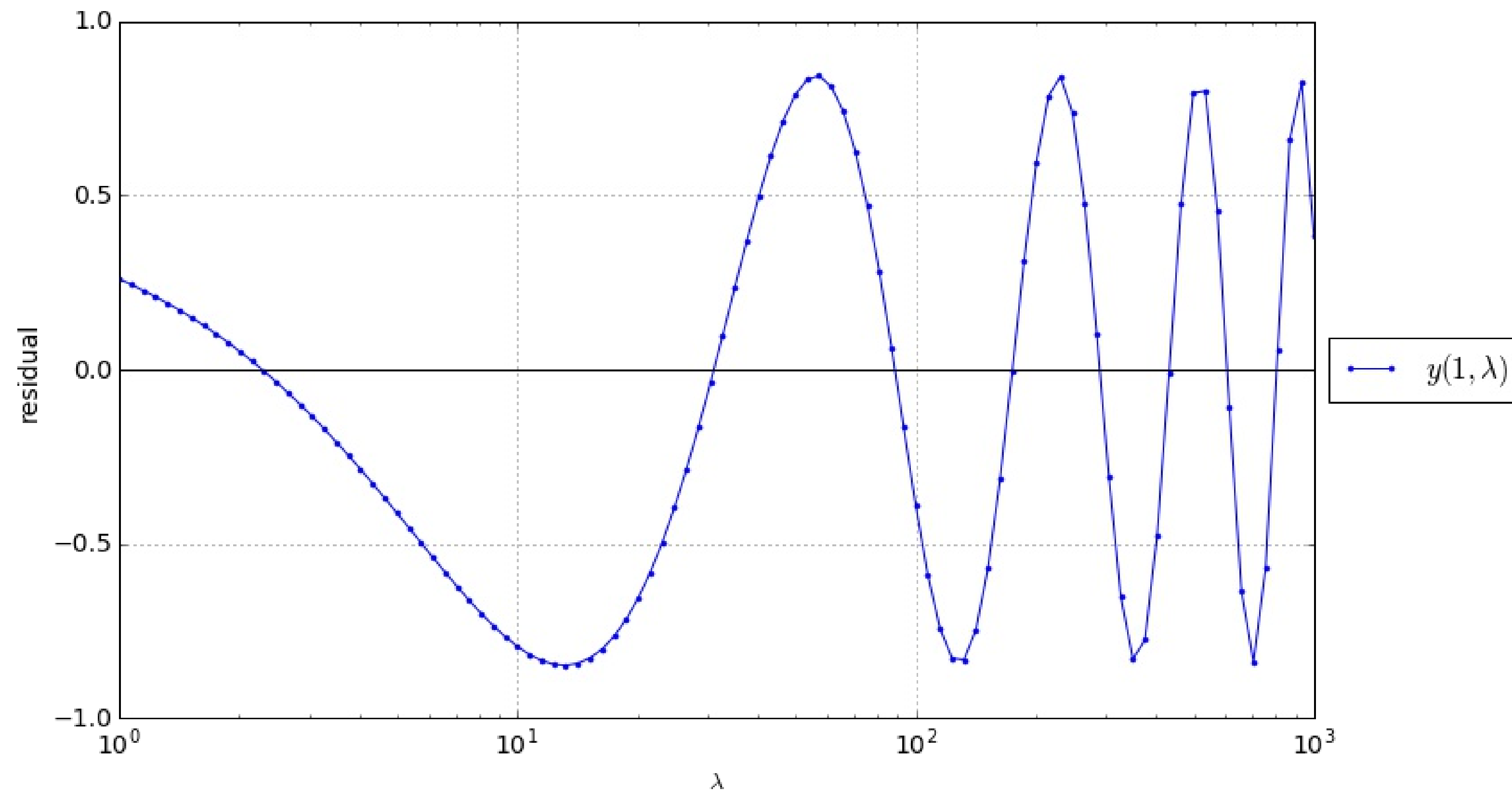
```
X, U1 = solve_cauchy(200, 0, 2)
X, U2 = solve_cauchy(200, 2.5, 2)
X, U3 = solve_cauchy(200, 5, 2)
X, U4 = solve_cauchy(200, 30, 2)
X, U5 = solve_cauchy(200, 500, 2)
plt.plot(X, U1, label=r'\lambda=0$')
plt.plot(X, U2, label=r'\lambda=2.5$')
plt.plot(X, U3, label=r'\lambda=5$')
plt.plot(X, U4, label=r'\lambda=30$')
plt.plot(X, U5, label=r'\lambda=500$')
plt.legend(loc='center left', bbox_to_anchor=(1., .5))
plt.xlabel('$x$'); plt.ylabel(r'$y$'); plt.show()
```



```

lambdas = np.logspace(0, 3, 100); val=[]
for lam in lambdas:
    val.append(residual(200, lam, order=2))
plt.figure(figsize=(12, 7))
plt.plot(lambdas, val, '-.', label=r'$y(1, \lambda)$')
plt.plot(lambdas, np.zeros_like(val), 'k')
plt.legend(loc='center left', bbox_to_anchor=(1.,.5))
plt.xlabel(r'$\lambda$'); plt.ylabel('residual')
plt.xscale('log'); plt.grid(); plt.show()

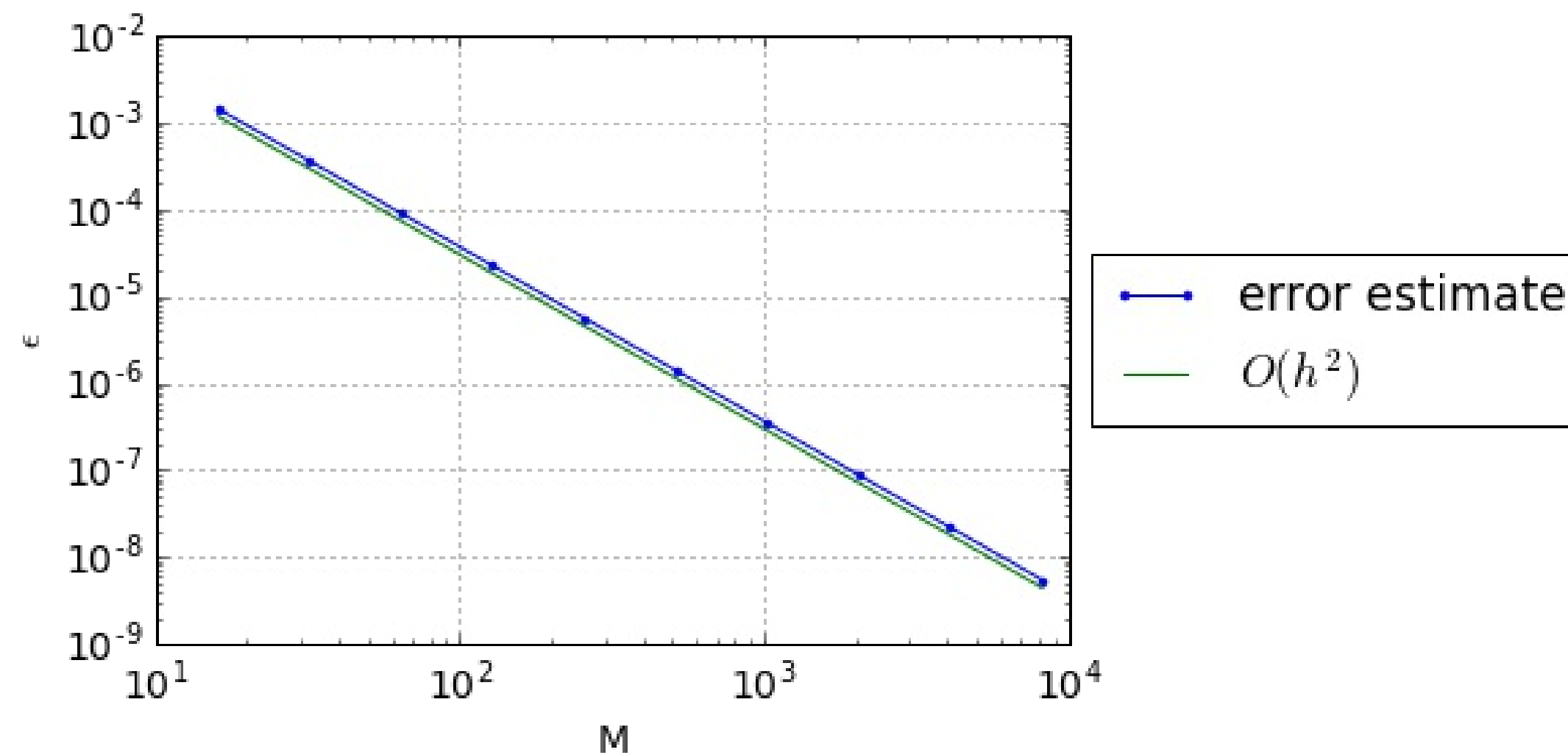
```



Вычислим первое собственное значение

Из графика следует, что $\lambda_1 \approx 2.5$. Уточним это значение численно решив уравнение $F(\lambda) = y(1, \lambda) = 0$

```
Ms = 2**np.arange(3, 14); Ls = []
for M in Ms:
    [val] = fsolve(lambda lam: residual(M, lam, order=2), Ls[-1] if len(Ls)>0 else 2.5, xtol=1e-12)
    Ls.append(val)
plt.loglog(Ms[1:], np.abs(np.diff(Ls)) / 3, '-.', label=r'error estimate')
plt.loglog(Ms[1:], 0.3 / Ms[1:]**2, '-', label=r'$O(h^2)$')
plt.xlabel('M'); plt.ylabel(r'$\epsilon$'); plt.grid()
plt.legend(loc='center left', bbox_to_anchor=(1.,.5)); plt.show()
```



Убедимся, что простейшая аппроксимация краевого условия дает только первый порядок сходимости для λ_1

```
Ms = 2**np.arange(3, 14); Ls = []
for M in Ms:
    [val] = fsolve(lambda lam: residual(M, lam, order=1), Ls[-1] if len(Ls)>0 else 2.5, xtol=1e-10)
    Ls.append(val)
plt.loglog(Ms[1:], np.abs(np.diff(Ls)), '-.', label=r'error estimate')
plt.loglog(Ms[1:], 0.5 / Ms[1:], '-', label=r'$O(h)$')
plt.xlabel('M'); plt.ylabel(r'$\epsilon$'); plt.grid()
plt.legend(loc='center left', bbox_to_anchor=(1.,.5)); plt.show()
```

